

Potential Erosion Assessment of Mahidasht Basin using SLEMSA Model

Tayyebeh Kiani^{1*}, Farideh Safakish², Monireh Lotfi³

¹ PhD Student of Geomorphology, Faculty of Geography and Planning, University of Isfahan, Isfahan, Iran

² Ph.D. Student of Geomorphology, Faculty of Geosciences, Kharazmi University, Tehran, Iran

³ Graduate Student of Geomorphology, Faculty of Geography and Planning, University of Isfahan, Isfahan, Iran

Abstract

Considering the importance of erosion and the lack of erosion and sedimentation stations in the region, using a model that has the ability to estimate erosion and sedimentation at certain times and places seems to be necessary. So, in this study, the experimental models of SLEMSA and GIS have been used to investigate the efficacy of these models, to simulate and estimate soil losses, and to identify areas susceptible to erosion in the northern part of Mahidasht basin of Kermanshah and its effective factors with an area of 81400 hectares. For this purpose, maps and values of the main parameters needed for the SLEMSA model, including topographic data, rainfall erosion and soil erosion, as well as atmospheric temperature, rainfall, vegetation, and geology maps were prepared. The results show that the topographic factor (slope and slope length) has the most effect on the erosion of the Mahidasht basin. The total amount of erosion in the studied area is estimated at 2494910 tons per year and the erosion value per hectare is estimated at 30.65 tons per year.

Key words: SLEMSA, Soil Conservation, Erosion, Mahidasht, GIS.

پژوهشگاه علوم انسانی و مطالعات فرهنگی
پرستال جامع علوم انسانی

ارزیابی پتانسیل‌های فرسایشی حوضه ماهیدشت با استفاده از مدل اسلامسا

طیبه کیانی^{*}: دانشجوی دکتری ژئومورفولوژی، دانشکده علوم جغرافیایی و برنامه‌ریزی، دانشگاه اصفهان، ایران

فریده صفاکیش: دانشجوی دکتری ژئومورفولوژی، دانشکده علوم جغرافیایی، دانشگاه خوارزمی، تهران، ایران

منیره لطفی: دانشجوی کارشناسی ارشد ژئومورفولوژی، دانشکده علوم جغرافیایی و برنامه‌ریزی، دانشگاه اصفهان، اصفهان، ایران

وصول: ۱۳۹۳/۰۸/۱۹ پذیرش: ۱۳۹۴/۰۵/۲۷، صص ۶۸-۵۵

چکیده

با توجه به اهمیت مسئله فرسایش و نبود اینستگاه‌های اندازه‌گیری فرسایش و رسوب در منطقه ماهیدشت، استفاده از مدلی که توانایی برآورد فرسایش و رسوب را در زمان‌ها و مکان‌های معین داشته باشد، ضروری به نظر می‌رسد؛ بنابراین در این پژوهش از مدل تجربی اسلامسا^۱ و سیستم اطلاعات جغرافیایی (GIS) با هدف بررسی کارایی این مدل در شبیه‌سازی و برآورد تلفات خاک و شناسایی نواحی حساس به فرسایش حوضه ماهیدشت استان کرمانشاه با مساحت ۸۱۴۰۰ هکتار استفاده شده است. نتایج نشان داد عامل توپوگرافی (شیب و طول دامنه) بیشترین تأثیر را در ایجاد فرسایش حوضه ماهیدشت داشته است. مقدار کل فرسایش در منطقه مطالعاتی برابر با ۲۴۹۴۹۱۰ تن در سال و مقدار فرسایش برای هر هکتار در سال ۳۰/۶۵ تن برآورد شد.

واژه‌های کلیدی: اسلامسا، حفاظت از خاک، فرسایش، ماهیدشت، GIS.

پژوهشگاه علوم انسانی و مطالعات فرهنگی
پرتال جامع علوم انسانی

¹ SLEMSA

مقدمه

منتھی می‌شود که مستقیم و غیرمستقیم بر کیفیت و آلودگی آب اثر می‌گذارد (Park et al, 2011: 263). از سوی دیگر با توجه به تغییرات جهانی و فعالیت‌های انسانی پیش‌بینی می‌شود فرایند فرسایش خاک افزایش یابد (Zhou et al, 2013: 371). بنا بر آمار و اطلاعات موجود، قاره آسیا بیش از هر قاره دیگری مشکل فرسایش دارد (Dregne, 1992: 8). ایران نیز از این قاعده مستثنی نیست؛ زیرا آمار موجود نشان می‌دهد ۵۹ درصد از ۱۷ حوضه از حوضه‌های مطالعه شده در ایران بهشدت تخریب شده است (ژاله، ۱۳۸۵: ۱)؛ از جمله حوضه‌های آبریز حاشیه کوه‌های زاگرس که از مهم‌ترین عوامل تشیدی فرسایش و تخریب آنها تغییر کاربری زمین، پوشش ضعیف گیاهی و سازندهای حساس به فرسایش مثل مارن و شیل‌اند که سالیانه باعث تولید میلیون‌ها تن رسوب می‌شوند (Tangestani, 2006: 585؛ بنابراین از آنجا که تخمین مقدار فرسایش، ابزاری برای شناخت مناطق حساس و تدوین برنامه‌های عملی حفاظت از آب و خاک است، شناخت عوامل تأثیرگذار بر روی آن در هر منطقه امری ضروری به شمار می‌آید (Pimentel et al, 1995: 1117)؛ با توجه به اینکه فرسایش خاک موجب فقیرشدن خاک، متروکشدن زمین‌های کشاورزی، رسوب‌گذاری در آبراهه‌ها، مخازن سدها و بندرهای کاهش ظرفیت آبگیری آنها می‌شود (صالحی و همکاران، ۱۳۹۰: ۲).

پیشینهٔ پژوهش

پژوهشگران در سراسر جهان از دیرباز در پی این بوده‌اند که با بهره‌گیری از روش‌های مختلف میزان فرسایش را در زمین‌ها محاسبه کنند. محاسبه میزان فرسایش در یک حوضه آبریز در صورت موجودبودن آمار کافی از دبی و رسوب با بهکارگیری روش‌های

خاک از مهم‌ترین منابع طبیعی هر کشور محسوب می‌شود. بشر طی تاریخ تکاملی خود همواره از آن بهمنزله بستری برای تأمین نیازهایش بهره برده است تا ادامه حیات خود را تضمین کند. یکی از عواملی که سبب نابودی بسیاری از زمین‌های حاصلخیز کشاورزی و تبدیل آنها به مکان‌های غیرقابل کشت می‌شود، پدیده «فرسایش خاک» است (صالحی و همکاران، ۱۳۹۰: ۱)؛ فرسایش، فرایندی پیچیده و یک خطر ژئومورفولوژیکی بالقوه است (سرطان زمین) که مقدار آن، شاخصی جامع برای ارزیابی درجه توسعه برنامه‌های مدیریت کشورها به شمار می‌آید (Ownegh et al, 2004: 1). درواقع هنگامی که زمین با پوشش گیاهی و دیگر عوامل پوشش‌دهنده خاک محافظت نشده باشد، رواناب‌های سطحی به فرسایش آبی در آن منجر می‌شوند (Vrieling, 2014: 33).

فرسایش خاک امروزه یکی از مهم‌ترین چالش‌های زیستمحیطی (Ekwe, 2009: 236) و از عوامل تهدیدکننده آن به شمار می‌رود که پیامدهای زیستمحیطی و اقتصادی متعددی به همراه دارد (Lacoste, 2014: 344 & Chartier, 2009: 78) درواقع چالشی جهانی است که به طور جدی منابع آب و خاک را تهدید می‌کند (Deng, 2008: 54) و پیامدهای ناخواسته آن، از بزرگ‌ترین مشکلات امروزی زیست‌بوم‌های مختلف تلقی می‌شود (صادقی، ۱۳۸۹: ۴۹)؛ زیرا به کاهش کیفیت خاک و زیست‌توده (Wang, 2014: 7)، ازدست‌رفتن مواد غذایی خاک و ۸۰-۷۵ درصد کربن و انتشار آن در جو (Morgan, 2009: 1) می‌انجامد. همه این عوامل به زیان‌های کشاورزی، بیابان‌زایی، آلودگی آب و افزایش رسوب در مخازن

شمالی منطقه تشخیص دادند و اصلی‌ترین عامل فرسایش را در کانون‌های پرخطر، انرژی جنبشی باران و سپس شیب زمین و پوشش گیاهی عنوان کردند و نشان دادند مقدار متوسط فرسایش $19.0\text{ تن} / \text{هکتار}$ است که نسبت به میزان متوسط فرسایش کشور کم است.

اهمیت و هدف پژوهش

بر این اساس جلوگیری از فرسایش خاک، هدف مهمی در مدیریت و حفاظت از منابع طبیعی به شمار (Hudson, 1995: 11 & Agassi, 1996: 25) می‌رود (Bussi, 2014: i)؛ بدین سبب با توجه به اهمیت مسئله فرسایش خاک، این پژوهش با هدف بررسی کارایی مدل فرسایشی اسلامسا در حوضه ماهیدشت انجام شده است.

روش پژوهش

مدل‌های تجربی اسلامسا

مدل‌های فرسایش، ابزارهای پیش‌بینی برای فرسایش و فرایندها و آثار آنهاست. مدل‌های تجربی بر مبنای مشاهدات پایه‌گذاری شده‌اند و به‌طور معمول آماری‌اند. این مدل‌ها بیشتر برای پیش‌بینی متوسط فرسایش به کار می‌روند و بعضی از آنها برای پیش‌بینی رسوب هم استفاده می‌شوند. این مدل‌ها تقریباً همانند مدل‌های جعبه سفیدند (صالحی و همکاران، ۱۳۹۰: ۴۲). مدل SLEMSA (soil loos Estimation model)، یکی از مدل‌های تجربی است (For Southern Africa). این مدل را ال ول^۳ (۱۹۷۸) برای نواحی جنوبی آفریقا

آماری امکان‌پذیر است؛ ولی نبود یا کمبود داده‌ها در زمینه فرسایش خاک و تولید رسوب در بسیاری از حوضه‌های کشور، کاربرد روش‌های تجربی را برای برآورد فرسایش خاک الزامی می‌کند (خداخشن، ۱۳۸۸: ۵۱)؛ زیرا با توجه به آثار جانبی مرتبط با آن، مدل‌سازی برآورد میزان فرسایش، گامی مهم در ارزیابی آن است (Mullan, 2013: 7). بر این اساس روش‌های مختلفی از جمله مدل‌های فیزیکی و روابط تجربی برای رسیدن به این هدف ابداع و در نقاط مختلف جهان به بوته آزمایش گذاشته شده‌اند که هریک محاسن و معایبی دارند (اسدی و همکاران، ۱۳۹۰: ۹۵). مدل تجربی اسلامسا با توجه به سادگی و نیاز اطلاعاتی کم در پژوهش‌های داخل و خارج از کشور به کار گرفته شده است؛ از جمله آیگیو^۱ (۲۰۰۲) کیفیت خطر فرسایش آبی را در دشت بنین با استفاده از دو مدل اسلامسا و USLE ارزیابی کرده و نتیجه گرفته است مدل اسلامسا به دلیل تشابه نتایج آن با نتایج طرح‌های صورت‌گرفته، انطباق بهتری با شرایط گرمسیری دارد.

ورین^۲ (۲۰۰۳) در مقاله‌ای سه مدل/ RUSLE/ SLEMSA انتخاب مدل براساس اثبات کیفیت آن معتقد است.

گندمکار و همکاران (۱۳۸۷) با بهره‌گیری از مدل اسلامسا میزان خطر فرسایش را در حوضه آبریز موسی آباد تیران محاسبه کردند و در پایان دریافتند این منطقه با مقدار حداقل $707\text{ تن} / \text{هکتار}$ در زمرة مناطق با میزان فرسایشی زیاد قرار می‌گیرد.

انتظاری و همکاران (۱۳۹۱) با بهره‌گیری از مدل اسلامسا در منطقه دستکن، پنج کانون فرسایش را در نیمه

³ El Well

¹ Igue

² vorin

ارائه کرد که در آن فرسایش خاک تابع سیستم‌های فیزیکی نظیر اقلیم، خاک، پوشش گیاهی و توپوگرافی است (رابطه ۱).

$$z = k \cdot x \cdot c \quad (1)$$

در این رابطه Z میانگین سالیانه هدررفت خاک (تن در هکتار در سال)، X توپوگرافی، K عامل فرسایندگی و قابلیت فرسودگی خاک و C زراعت است. عوامل متغیرهای این مدل در جدول (۱) دیده می‌شود.

ارائه کرد که درواقع اصلاحی بر مدل USLE و بهمنظور سازگارکردن آن با شرایط آگرواقلیمی جنوب آفریقا صورت گرفته است (انتظاری و حیدری، ۱۳۹۳: ۳). این روش ضمن تلفیق داده‌ای اساسی و ساده با یکدیگر، بر پاره‌ای روابط مهم محیطی بهویژه روابط پوشش گیاهی، ریزش باران و فرسایندگی تأکید دارد. درواقع این مدل پتانسیل‌های بالقوه مطلوبی دارد و ما را قادر می‌سازد برای تصحیح ضعف‌های روش‌های دیگر ارزیابی خطرات فرسایشی اقدام کنیم (رامشت و شاهزیدی، ۱۳۹۰: ۵۴)؛ بنابراین ال ول مدل جدیدی شاهزیدی، ۱۳۹۰: ۵۴)؛ بنابراین ال ول مدل جدیدی

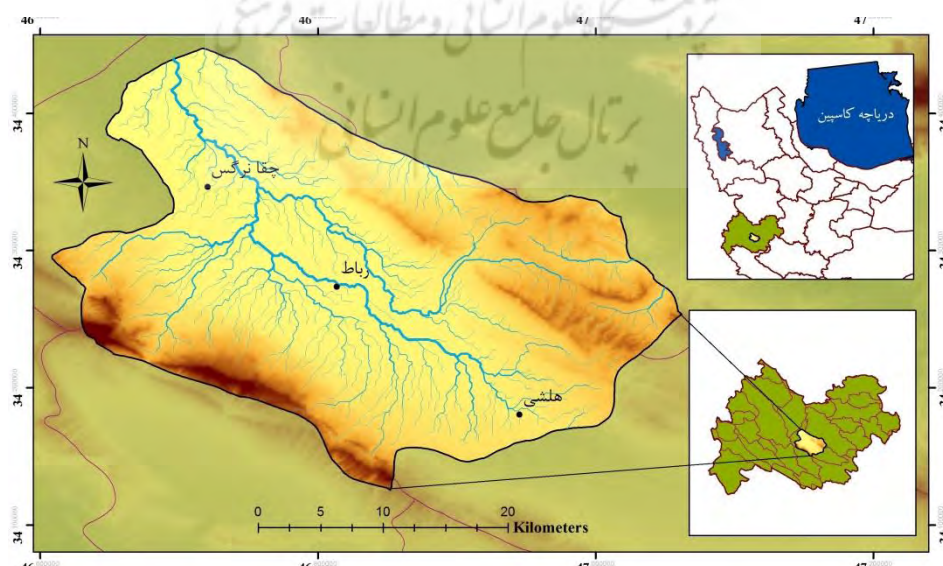
جدول ۱. عوامل و متغیرهای مؤثر در ارزیابی خطرات فرسایشی

عامل	متغیر	واحد	روش اندازه‌گیری
پستی و بلندی	شیب متوسط	درصد	ونت و روث
بارندگی	انرژی جنبشی	ژول به متر	با استفاده از باران‌نگار
پوشش گیاهی	پوشش گیاهی	درصد	با توجه به اطلاعات نوع کشت و بهره‌برداری زمین
خاک	شاخص قابلیت فرسودگی	درصد	این شاخص بر حسب شرایط محلی و نوع مدیریت اعمالی در اراضی محاسبه می‌شود.

است. مساحت حوضه برابر با ۸۱۴ کیلومتر مربع است و از ۴۶/۱۲ تا ۳۴/۴۴ درجه شمالی و از ۴۶/۵۹ تا ۴۷/۰۶ درجه شرقی گسترده است (شکل ۱).

موقعیت جغرافیایی محدوده پژوهش

محدوده انتخاب شده حوضه ماهیدشت در مرکز استان کرمانشاه واقع شده و از زیرحوضه‌های کرخه



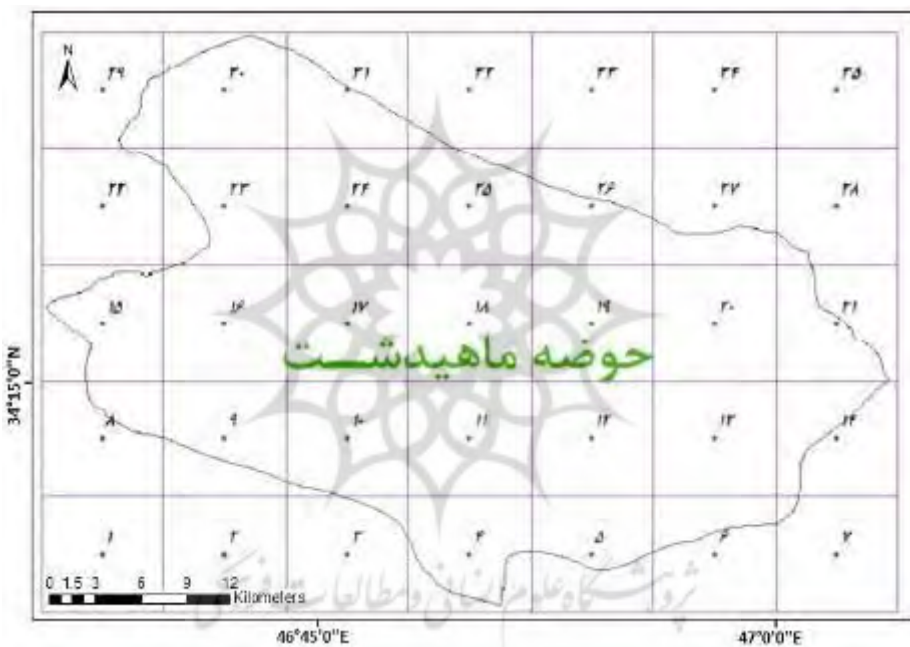
شکل ۱. موقعیت محدوده پژوهش

یافته‌های پژوهش

ایجاد شبکه بر حوضه پژوهشی

شبکه توری محاسبه شود، بنابراین در محیط نرم‌افزار Arc GIS شبکه‌ای توری با تعداد ۷ ستون و ۵ سطر ایجاد شد؛ به بیان دیگر محدوده پژوهش به تعداد ۳۵ مربع تقسیم شد؛ به طوری که ابعاد هر مریع برابر با ۶ کیلومتر در ۷ کیلومتر است (۳۵۰۰۰۰۰ مترمربع یا ۳۵۰۰ هکتار). از ۳۵ مریع مربوط به شبکه توری تهیه شده، تعداد ۳۰ مریع آن به طور کامل یا ناقص بر محدوده حوضه ماهیدشت قرار گرفت (شکل ۲).

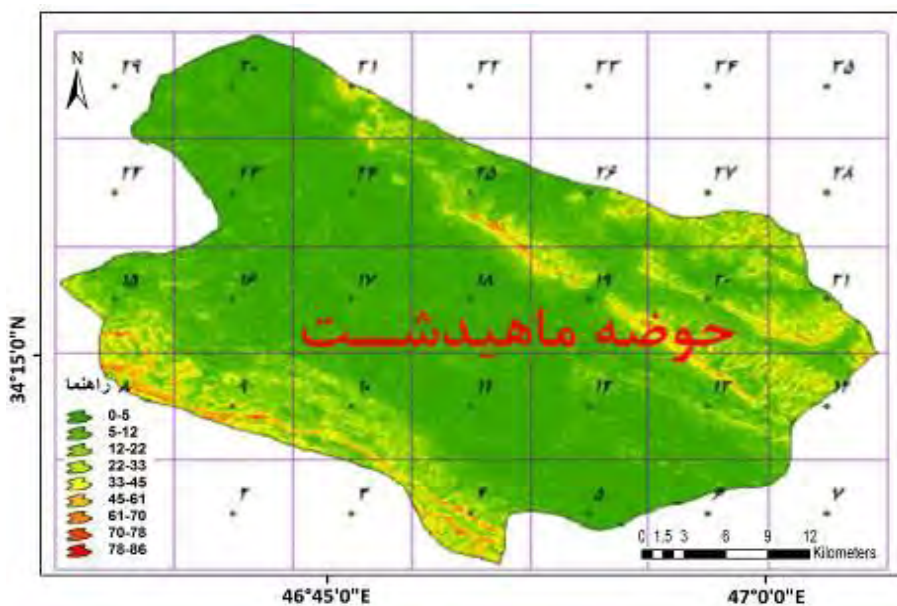
در مدل اسلامسا باید بر سطح حوضه، شبکه ایجاد و هریک از مؤلفه‌های لازم مدل اسلامسا برای هریک از خانه‌ها محاسبه شود. برای این کار در نرم‌افزار GIS از ابزار Create Fishnet استفاده شد. با توجه به اینکه در مدل اسلامسا محدوده پژوهشی باید در زیر شبکه قرار داده و در ادامه هریک از مؤلفه‌های مدل برای هریک از مریع‌های ایجادشده ناشی از



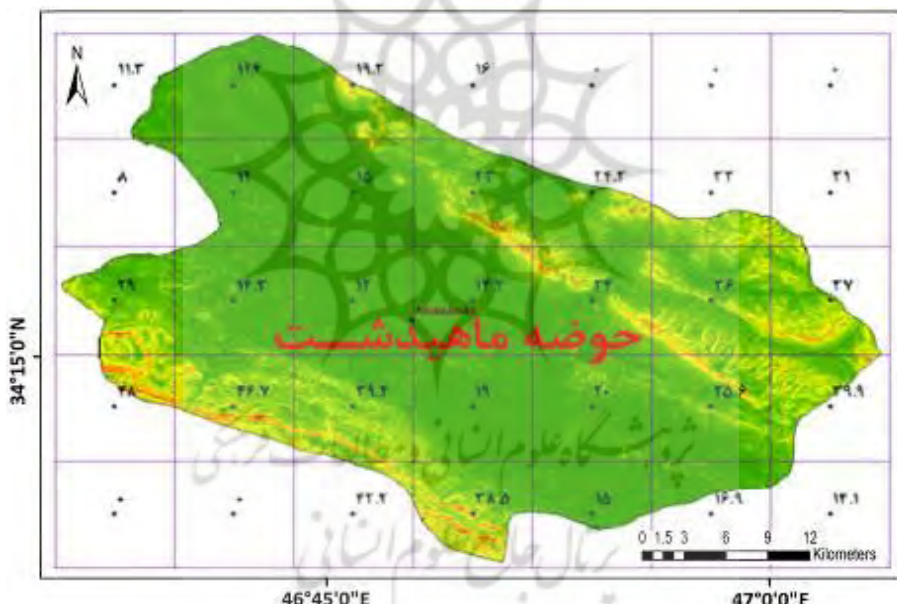
شکل ۲. شبکه توری ایجادشده بر حوضه ماهیدشت

بنابراین به منظور تهیه نقشه شیب، مدل رقومی ارتفاع محدوده پژوهش به کار رفت (شکل ۳) و پس از همپوشانی شبکه توری بر روی نقشه شیب مقدار متوسط شیب مربوط به هر مریع به طور جداگانه در محیط نرم‌افزار Arc GIS و با استفاده از نوار ابزار Zonal statistic برآورد شد (شکل ۴).

پس از ایجاد شبکه توری براساس مدل اسلامسا لازم است میزان دخالت ۳ عامل توپوگرافی (X)، فرسایندگی و قابلیت فرسودگی خاک (K) و عامل زراعت (C) با بهره‌گیری از فرمول $Z=KCX$ محاسبه شود. به منظور محاسبه میزان تأثیر عامل توپوگرافی در ایجاد فرسایش خاک لازم است وضعیت دو عامل شیب دامنه (S) و طول دامنه (L) بررسی شود؛



شکل ۳. نقشه شیب حوضه ماهیدشت تهیه شده بر پایه نقشه مدل رقومی ارتفاع محدوده پژوهش



شکل ۴. نقشه شیب متوسط هر خانه، تهیه شده با استفاده از ابزار zonal statistic

عامل توپوگرافی در ایجاد فرسایش خاک در هریک از خانه‌های ایجادشده بر حوضه ماهیدشت براساس رابطه (۲) برآورد شد:

$$X = \frac{L^{0.5}(0.76 + 0.53S + 0.076S^2)}{25.65} \quad \text{رابطه (۲)}$$

عامل دیگری که در بررسی نقش عامل توپوگرافی در مدل اسلامسا به آن توجه می‌شود، طول دامنه است که در محدوده پژوهش با توجه به ویژگی‌های توپوگرافی آن برای هریک از خانه‌ها به طور متوسط طول دامنه برابر با ۱۰۰ متر لحاظ شد. با توجه به مقادیر محاسبه شده برای شیب و طول دامنه مقدار تأثیر

فرسودگی خاک (F) و انرژی جنبشی باران (E) است. بهمنظور محاسبه میزان تأثیر بارش از میانگین بارش سالیانه ۸ ایستگاه سینوپتیک در داخل و اطراف حوضه پژوهش استفاده شد. جدول (۲) گویای اطلاعات مربوط به ایستگاه‌های مطالعاتی است.

در این رابطه (S)، شیب متوسط و (L)، طول دامنه است.

عامل تأثیرگذار دیگر در محاسبه میزان فرسایش خاک با استفاده از مدل اسلامسا، قابلیت فرسودگی خاک (K) است که این عامل خود شامل قابلیت

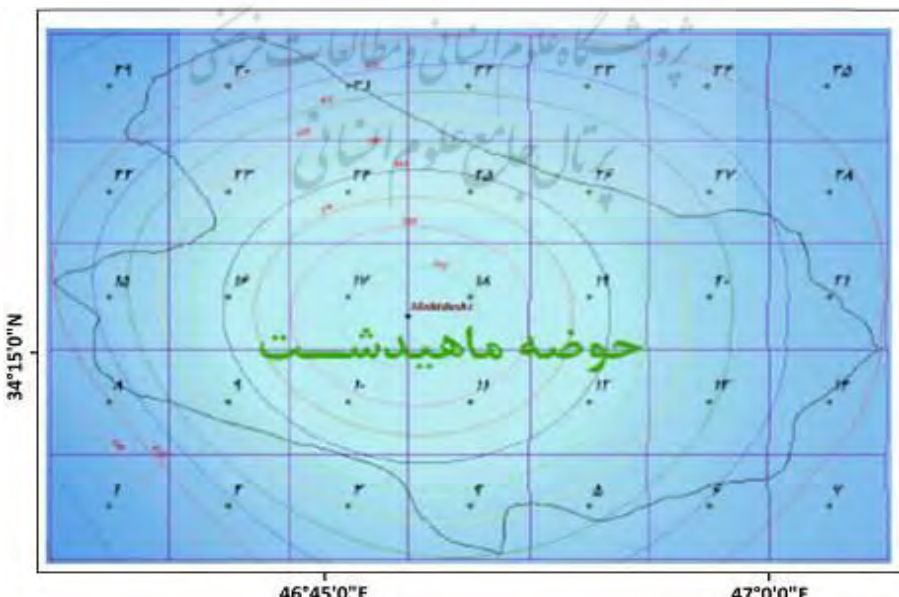
جدول ۲. اطلاعات آماری مربوط به ایستگاه‌های سینوپتیک مطالعه شده

ایستگاه	نوع ایستگاه	طول	عرض	ارتفاع	متوسط بارش
کرمانشاه	سینوپتیک	۴۷° ۱	۳۴° ۷	۱۲۲۰	۴۳۲/۲
اسلامآباد	سینوپتیک	۴۶° ۵	۳۵° ۰ ۳	۱۳۵۰	۴۷۹/۸
روانسر	سینوپتیک	۴۶° ۷	۳۴° ۵	۱۳۸۰	۵۱۶/۲
سرارود	سینوپتیک	۴۷° ۱۸	۳۴° ۲	۱۳۶۰	۴۶۰/۲
پاوه	سینوپتیک	۴۶° ۳	۳۴° ۸	۱۴۸۵	۷۵۷/۲
ماهیدشت	سینوپتیک	۴۶° ۸۵	۳۴° ۲۷	۱۳۶۴	۳۴۴/۶
چوانرود	سینوپتیک	۴۶° ۴۵	۳۴° ۲۷	۱۳۷۵	۵۴۴/۹
سرپل	سینوپتیک	۴۵° ۹	۳۴° ۱۵	۵۴۵	۴۲۸

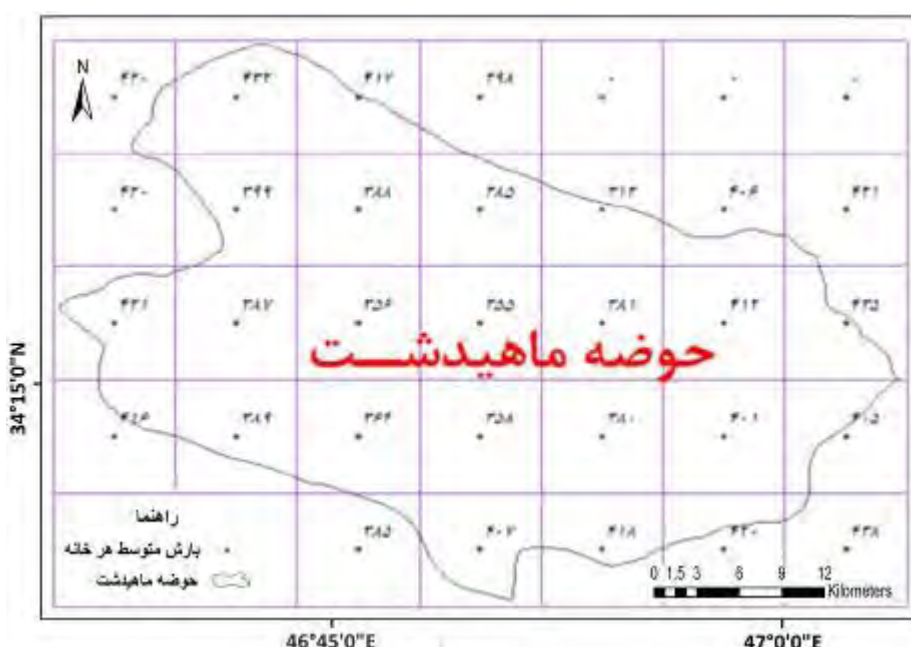
استفاده شد که در این معادله (P)، مقدار بارش هر خانه است.

$$E = 17/37 P$$

پس از مشخص کردن ایستگاه‌های سینوپتیک در محیط Arc GIS با بهره‌گیری از روش درون‌یابی، نقشه بارشی تهیه (شکل ۵) و در ادامه پس از به دست آوردن متوسط بارش هر خانه (شکل ۶) از رابطه (۳) بهمنظور برآورد مقدار انرژی جنبشی باران



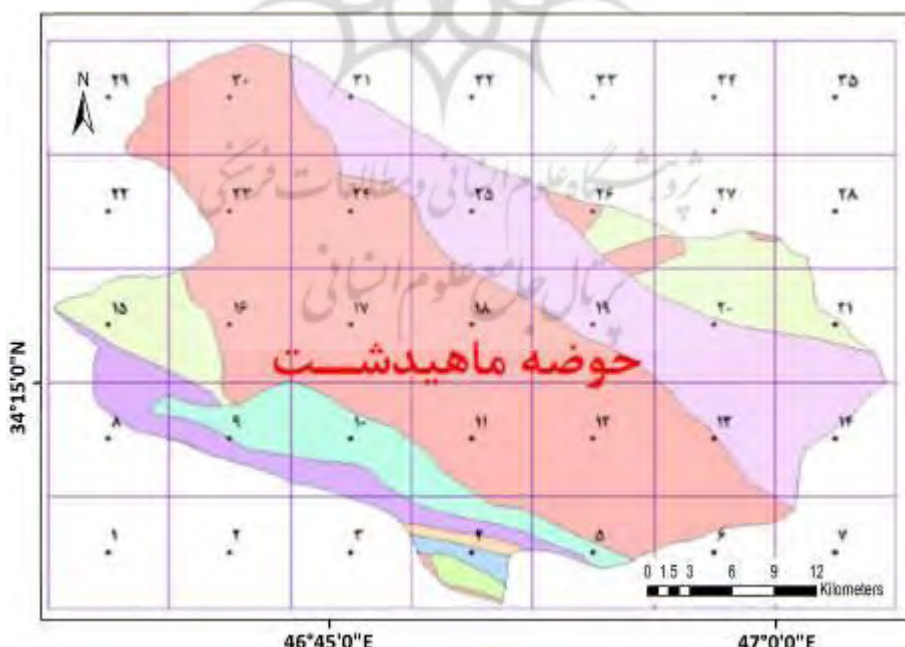
شکل ۵. همپوشانی شبکه توری بر نقشه بارشی درون‌یابی شده



شکل ۶. متوسط بارش هر خانه، محاسبه شده براساس بارش درونیابی شده و استفاده از ابزار zonal

محدوده پژوهش استفاده شد (شکل ۷)؛ به طوری که به جنس‌های سخت بیشترین مقدار و به جنس‌های سست کمترین مقدار اختصاص داده شد (شکل ۷).

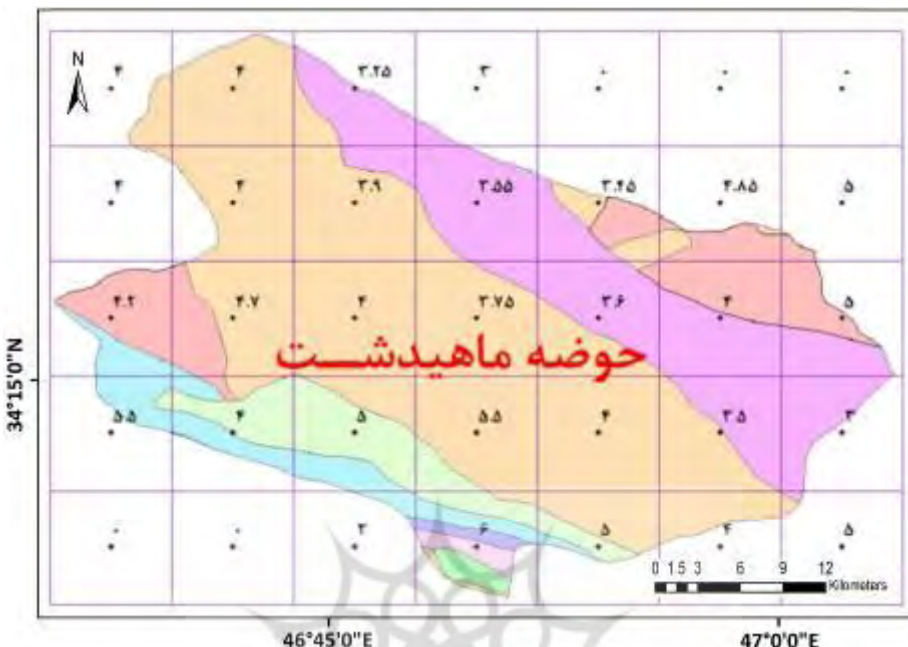
عامل دیگر در فرسایش خاک مربوط به قابلیت فرسودگی خاک (F) است که به منظور برآورد میزان تأثیر این عامل در ایجاد فرسایش از لایه زمین‌شناسی



شکل ۷. نقشه زمین‌شناسی حوضه ماهیدشت به منظور برآورد عامل (F)

میزان سختی جنس‌های زمین‌شناسی اختصاص داده شد (شکل ۸).

پس از تهیه نقشه زمین‌شناسی و همپوشانی شبکه توری بر آن مقادیر (F) مربوط به هر خانه براساس



شکل ۸. عامل (F) محاسبه شده برای هر خانه براساس درجه سختی سنگ‌های زمین‌شناسی

به طوری که مقادیر (I) برای هر خانه در دامنه عددی بین ۳۰ تا ۷۰ درصد محاسبه شد و در پایان با توجه به مقدار (I) به دست آمده برای هر خانه، مقدار (C) مربوط به آن خانه با استفاده از یکی از روابط (۵) و (۶) زیر به دست آمد:

$$C_1 = \exp(-0.06 i) \quad 0 \leq I \leq 50 \quad \text{رابطه (5)}$$

برای زمین‌های کشاورزی و علفزارهای طبیعی وقتی $i \leq 0$ است.

$$C_2 = (2.3 - 0.01 I)/30 \quad 50 \leq I \leq 100 \quad \text{رابطه (6)}$$

برای زمین‌های کشاورزی و علفزارهای طبیعی وقتی $i \leq 100$ است.

پس از محاسبه مقادیر دو عامل (E) و (F)، مقدار تأثیر عامل فرسایندگی خاک (K) با رابطه (۴) برای هر خانه به طور جداگانه برآورد شد.

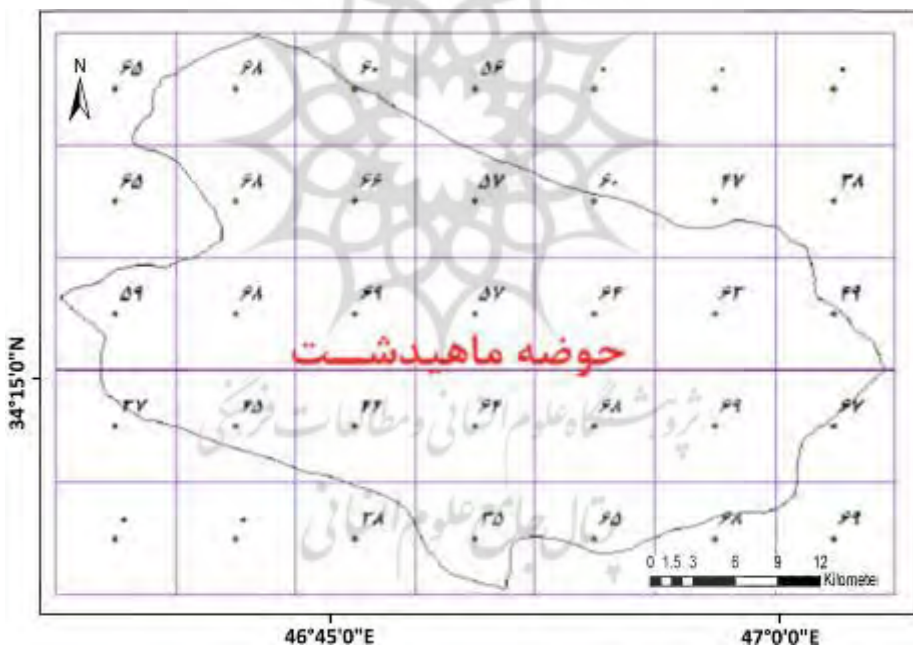
$$K = \exp\{(0.4661 + 0.7663 F). \ln E + 2.884 - 8 F\} \quad (4)$$

در این رابطه (F)، قابلیت فرسودگی خاک و (E)، انرژی جنبشی باران است.

عامل تأثیرگذار دیگر در ایجاد فرسایش خاک براساس مدل اسلامسا، پوشش گیاهی است. به منظور مشخص کردن میزان تأثیر آن از دو عامل مقدار متوسط بارش (شکل ۶) و وضعیت پوشش گیاهی (I) (شکل ۹ و ۱۰) در هر خانه از شبکه توری استفاده شد؛



شکل ۹. وضعیت پوشش گیاهی و درختی حوضه ماهیدشت



شکل ۱۰. نقشه عامل (I) برآورده شده برپایه نقصه متوسط بارش و نقشه پوشش گیاهی حوضه ماهیدشت

به بیان دیگر برای هریک از این مربع‌ها مقادیر مربوط به عوامل تأثیرگذار مدل اسلامسا برآورد شد. چهار سطر آخر جدول (۳) نیز بیان‌کننده کمترین، بیشترین، میانگین و مجموع هریک از عوامل مربوط به مدل اسلامسا در حوضه ماهیدشت است.

پس از محاسبه و برآورد میزان تأثیر عوامل تأثیرگذار در ایجاد فرسایش براساس مدل اسلامسا، نتایج به دست آمده در جدول (۳) ارائه شد. در این جدول ستون Number بیان‌کننده شماره مربع مربوط به شبکه توری ایجاد شده بر حوضه ماهیدشت است؛

جدول ۳. میزان تأثیر عوامل مدل اسلمسا در ایجاد فرسایش خاک در حوضه ماهیدشت

Number	P	I	S	F	L	E	X	K	C	Z
۱	۳۸۵	۲۸	۴۲/۲	۲	۱۰۰	۶۶۸۷/۵	۶۱/۸	۸۸/۹۹	۰/۱۰۲	۵۶۲/۳۵۴
۲	۴۰۷	۳۵	۳۸/۵	۶	۱۰۰	۷۰۶۹/۶	۵۲/۲	۰/۷۹	۰/۱۲۲	۵/۰۶۶۶۴
۳	۴۱۸	۶۵	۱۵	۵	۱۰۰	۷۲۶۰/۷	۱۰/۱	۲/۹۸	۰/۰۵۵	۱/۶۴۷۱
۴	۴۲۰	۶۸	۱۶/۹	۴	۱۰۰	۷۲۹۵/۴	۱۲/۳	۹/۹۲	۰/۰۵۴	۶/۰۶۴۸۷
۵	۴۳۸	۶۹	۱۴/۱	۵	۱۰۰	۷۶۰۸/۱	۹/۱	۳/۶۴	۰/۰۵۴	۱/۷۷۶۸۷
۶	۴۱۶	۳۷	۴۸	۵/۵	۱۰۰	۷۲۲۵/۹	۷۸/۵	۱/۶۱	۰/۱۰۹	۱۳/۶۹۹۱
۷	۳۸۹	۴۵	۴۶/۷	۴	۱۰۰	۶۷۵۶/۹	۷۴/۶	۷/۰۷	۰/۰۶۷	۳۷/۹۳۲۸
۸	۳۶۴	۴۴	۳۹/۴	۵	۱۰۰	۶۳۲۲/۷	۵۴/۴	۱/۶۴	۰/۰۷۱	۶/۳۷۹۷۹
۹	۳۵۸	۶۴	۱۹	۵/۵	۱۰۰	۶۲۱۸/۵	۱۴/۹	۰/۸۰	۰/۰۵۵	۰/۶۵۶۹۶
۱۰	۳۸۰	۶۸	۲۰	۴	۱۰۰	۶۶۰۰/۶	۱۶/۳	۶/۹۷	۰/۰۵۴	۶/۱۲۶۹۴
۱۱	۴۰۱	۶۹	۲۵/۶	۳/۵	۱۰۰	۶۹۶۵/۴	۲۵/۰	۱۵/۰۰	۰/۰۵۴	۲۰/۰۳۶
۱۲	۴۰۵	۶۷	۳۹/۹	۳	۱۰۰	۷۰۳۴/۹	۵۵/۷	۲۹/۳۲	۰/۰۵۴	۸۸.۷۳۷۶
۱۳	۴۲۱	۵۹	۲۹	۴/۲	۱۰۰	۷۳۱۲/۸	۳۱/۲	۷/۹۰	۰/۰۵۷	۱۴/۰۳۳
۱۴	۳۸۷	۶۸	۱۴/۳	۴/۷	۱۰۰	۶۷۲۲/۲	۹/۳	۳/۱۱	۰/۰۵۴	۱/۰۶۱۶۴
۱۵	۳۵۶	۶۹	۱۲	۴	۱۰۰	۶۱۸۳/۷	۷/۰	۰/۰۴	۰/۰۵۴	۲/۰۹۱۹۶
۱۶	۳۵۵	۵۷	۱۳/۲	۳/۷۵	۱۰۰	۶۱۶۶/۴	۸/۲	۷/۶۱	۰/۰۵۸	۳/۰۹۲۰۶
۱۷	۳۸۱	۶۴	۲۴	۳/۶	۱۰۰	۶۶۱۸	۲۲/۳	۱۱/۶۴	۰/۰۵۰	۱۴/۳۷۲۸
۱۸	۴۱۲	۶۳	۳۶	۴	۱۰۰	۷۱۵۶/۴	۴۶/۱	۹/۲۷	۰/۰۵۶	۲۳/۸۱۲۱
۱۹	۴۳۵	۴۹	۳۷	۵	۱۰۰	۷۵۰۶	۴۸/۰	۳/۰۳	۰/۰۵۳	۹/۰۵۷۶۹
۲۰	۴۲۰	۶۵	۸	۴	۱۰۰	۷۲۹۵/۴	۳/۸	۹/۹۲	۰/۰۵۰	۲/۰۹۸۹۲
۲۱	۳۹۹	۶۸	۱۲	۴	۱۰۰	۶۹۳۰/۶	۷/۰	۸/۲۸	۰/۰۵۴	۳/۱۴۸۶۴
۲۲	۳۸۸	۶۶	۱۵	۳/۹	۱۰۰	۶۷۳۹/۶	۱۰/۱	۸/۰۰	۰/۰۵۰	۴/۶۷۳۰۴
۲۳	۳۸۵	۵۷	۲۳	۳/۰۵	۱۰۰	۶۶۸۷/۵	۲۰/۷	۱۲/۸۱	۰/۰۵۸	۱۵/۳۱
۲۴	۳۱۲	۶۰	۲۴/۲	۳/۴۵	۱۰۰	۵۴۱۹/۴	۲۲/۶	۷/۰۵	۰/۰۵۷	۹/۶۹۰۲۷
۲۵	۴۰۶	۴۷	۲۲	۴/۸۰	۱۰۰	۷۰۵۲/۲	۳۹/۴	۳/۱۵	۰/۰۶۰	۷/۳۹/۰۶۰
۲۶	۴۲۱	۳۸	۳۱	۵	۱۰۰	۷۳۱۲/۸	۳۵/۲	۳/۰۷	۰/۱۰۲	۱۱/۰۴۲۲
۲۷	۴۲۰	۶۵	۱۱/۳	۴	۱۰۰	۷۲۹۵/۴	۹/۴	۹/۹۲	۰/۰۵۰	۳/۰۰۱۰۶
۲۸	۴۳۲	۶۸	۱۱/۴	۴	۱۰۰	۷۵۰۳/۸	۶/۵	۱۰/۹۶	۰/۰۵۴	۳/۸۴۸۹۸
۲۹	۴۱۷	۶۰	۱۹/۲	۳/۲۵	۱۰۰	۷۲۴۳/۳	۱۵/۲	۲۳/۶۱	۰/۰۵۷	۲۰/۳۱۰
۳۰	۳۹۸	۵۶	۱۶	۳	۱۰۰	۶۹۱۳/۳	۱۱/۲	۲۷/۹۴	۰/۰۵۸	۱۸/۱۲۶۹
MIN							۳/۸۴۵۶۱	۰/۷۹۳۰۸	۰/۰۵۲۸۷	۰/۶۵۶۹۶
MAX							۷۸/۴۸۱۱	۸۸/۹۹	۰/۱۲۲۴۶	۵۶۲/۳۵۴
MEAN							۲۷/۱۸۷۹	۱۱/۴۶۷۴	۰/۰۶۳۳۹	۳۰/۶۴۷۸
SUM							۸۱۵/۶	۳۴۴/۰۴	۱/۹	۹۱۹/۴۴۳

هر هکتار در سال برابر با $30/65$ تن و برای کل محدوده ماهیدشت برابر با 2494910 تن در کل منطقه در سال برآورد شد. نتایج نشان می‌دهد وضعیت یاخته‌های $20, 14, 9, 3$ از لحاظ شدت فرسایش بحرانی‌تر از سایر یاخته‌های است؛ به طور کلی نتایج جدول (۳) و اشکال (۳)، (۴) و (۷) در درجه اول حاکی از دخالت مؤثر عامل توپوگرافی (قرارگرفتن یاخته‌ها در محدوده کوهستانی و پرفساز و نشیب با شبیه‌های تن و متفاوت) و در مراحل بعد قرارگرفتن در منطقه پرباران (بیشتر برای یاخته 14 و 20) و درنهایت کاهش پوشش گیاهی به دلیل افزایش ارتفاع است.

منابع

ابراهیمی محمدی، شیرکوه، صادقی، سید حمیدرضا و چپی، کامران، (۱۳۹۱). *تحلیل آورد رواناب، رسوب معلق و مواد مغذی ورودی‌های مختلف به دریاچه زربوار در پایه زمانی رگبار و آب پایه، نشریه حفاظت منابع آب و خاک، دوره ۳، شماره ۱، ۹۴-۱۰۲.*

انتظاری، مژگان و حیدری، غلامرضا، (۱۳۹۳). مقایسه مدل‌های SLEMSA و CORINE در تخمین فرسایش خاک (مطالعه موردنی: حوضه تنگ‌سرخ شیراز)، فصلنامه مدرس علوم انسانی (برنامه‌ریزی و آمایش فضا)، دوره ۱۸، شماره ۳، ۱-۲۸.

انتظاری، مژگان، شریفی، رسول، ایزدی، زهرا و شاهزیدی، سمیه‌سادات، (۱۳۹۱). *ارزیابی پتانسیل‌های فرسایشی منطقه دستکن با استفاده*

براساس نتایج جدول (۳) میانگین رسوب برای هر یاخته، عدد $30/65$ برآورد شد. مساحت هر یاخته 4200 هکتار (ابعاد یاخته 7×6 کیلومتر) است؛ به بیان دیگر مقدار رسوب برآورده شده برای هر یاخته برابر با 128730 تن ($30/65 \times 4200$) در هکتار در سال است. مساحت محدوده پژوهش برابر با 81400 کیلومترمربع (81400 هکتار) و مساحت هر یاخته 4200 هکتار (ابعاد یاخته 7×6 کیلومتر) است؛ به بیان دیگر مساحت کل محدوده پژوهش برابر با مساحت تعداد یاخته است ($81400 = 19/38 \times 4200$).

براساس بررسی‌های انجام‌شده مقدار رسوب برآورده شده برای کل محدوده پژوهش برابر با 2494910 تن در کل منطقه در سال ($30/65 \times 81400 = 2494910$) و مقدار رسوب برای هر هکتار برابر با $30/65$ تن در سال است (رابطه ۷).

$$e^x = \frac{2494910}{81400} = 30.65 \quad \text{رابطه (۷)}$$

نتیجه‌گیری

مدل اسلامسا (جدول ۳) نشان داد عامل توپوگرافی (X) که از دو قسمت شب و طول دامنه تشکیل می‌شود، با مقدار مجموع $815/6$ بیشترین تأثیر را در ایجاد فرسایش حوضه ماهیدشت داشته است. پس از عامل توپوگرافی، عامل فرسایندگی و قابلیت فرسودگی خاک (K) که آن نیز از دو جزء انرژی (F) جنبشی باران (E) و قابلیت فرسودگی خاک (F) تشکیل می‌شود، با مقدار مجموع $344/04$ در رتبه دوم قرار و عامل پوشش گیاهی با مقدار $1/9$ کمترین تأثیر را داشته است. مقدار مجموع رسوب تولیدشده در حوضه ماهیدشت نیز براساس نتایج مدل اسلامسا برای

گندمکار، امیر، شیخی، نفیسه و احمدی، سعید، (۱۳۸۷). فرسایش خاک در حوضه آبریز موسی‌آباد تیران با استفاده از مدل SLEMSA، فصلنامه چشم‌انداز جغرافیایی، دوره ۳، شماره ۶، ۹۵-۱۰۸.

Agassi, M., (1996). **Soil erosion, conservation and rehabilitation**, (No. 631.45 Ag16s Ej. 1 008589), Marcel Dekker, NewYork.

Boiffin, J., F. Papy and G. Monnier., (1988). **Some reflections on the prospect of modeling.**

Bussi, G., (2014). **Implementation of a distributed sediment model in different data availability scenarios**, (Doctoral dissertation, Universitat Politècnica de València).

Chartier, M. P., Rostagno, C. M., & Roig, F. A., (2009). **Soil erosion rates in rangelands of northeastern Patagonia: A dendrogeomorphological analysis using exposed shrub roots**, Geomorphology, Vol 106 (3), 344-351.

Csiro., (2003). Australia advances, soil cancer, Seri eight.

Deng, Z. Q., de Lima, J. L., & Jung, H. S., (2008). **Sediment transport rate-based model for rainfall-induced soil erosion**, Catena, Vol 76 (1), 54-62.

Dregne, H. E., (1992). **Erosion and soil productivity in Asia**, Journal of Soil and Water Conservation, Vol 47 (1), 8-13.

Ekwe, E. I., Bharat, C., & Samaroo, K., (2009). **Effect of soil type, peat and farmyard manure addition, slope and their interactions on wash erosion by overland flow of some Trinidadian soils**, Biosystems engineering, Vol 102 (2), 236-243.

Hudson, N., (1995). **Soil conservation**, (No 3. ed.), BT Batsford.

Igue, A. M., (2002). **The Qualitative Assessment of water erosion risk in moist**

از مدل SLEMSA. جغرافیا و برنامه‌ریزی محیطی، دوره ۲۳، شماره ۴، ۱۲۰-۱۰۹.

خدابخش، سعید، محمدی، اکبر، رفیعی، بهروز و بزرگزاده، عیسی، (۱۳۸۸). مقایسه برآورد میزان فرسایش و رسوب‌زدایی در زیرحوضه سزار (حوضه آبریز سد دز) با استفاده از مدل‌های تجربی ای‌پی‌ام و ام‌پسیاک با کمک دانش فازی، فصلنامه زمین‌شناسی ایران، دوره ۳، شماره ۱۲، ۵۱-۶۱.

رامشت، محمدحسین و شاهزیدی، سمیه‌سادات، (۱۳۹۰). کاربرد ژئومورفولوژی در برنامه‌ریزی (ملی- منطقه‌ای- اقتصادی- توریسم)، تک جلد، چاپ اول، اصفهان، دانشگاه اصفهان.

زاله، اعظم، (۱۳۸۵). ارزیابی تخمین رواناب و رسوب با استفاده از مدل SWAT2000 در زیرحوضه ونك از حوضه آبخیز کارون شمال، پایان‌نامه کارشناسی ارشد، استاد راهنمای افیونی، مجید و جلالیان، احمد، دانشگاه صنعتی اصفهان، دانشکده کشاورزی.

صادقی، سید حمیدرضا، (۱۳۸۹). **مطالعه و اندازه‌گیری فرسایش آبی**, تک جلد، چاپ اول، تهران، انتشارات دانشگاه تربیت مدرس.

صالحی، محمدحسن، اسفندارپور بروجنی، عیسی، مهاجر، رضا و باقری بداغ‌آبادی، محسن، (۱۳۹۰). **حفظ آب و خاک تکمیلی**, تک جلد، چاپ دوم، تهران، دانشگاه پیام نور.

- Svorin, J., (2003). **A test of three soil erosion models incorporated into a geographical information system**, Hydrological processes, Vol 17 (5), 967-977.
- Tangestani, M. H., (2006). **Comparison of EPM and PSIAC models in GIS for erosion and sediment yield assessment in a semi-arid environment: Afzar Catchment, Fars Province, Iran**, Journal of Asian earth sciences, Vol 27 (5), 585-597.
- Vrieling, A., Hoedjes, J. C., & van der Velde, M., (2014). **Towards large-scale monitoring of soil erosion in Africa: Accounting for the dynamics of rainfall erosivity**, Global and Planetary Change.
- Wang, X., (2014). **Impacts of soil redistribution on the transport and fate of organic carbon in loess soils**, (Doctoral dissertation, University of Amsterdam).
- Zhou, F., Gou, X., Zhang, J., Zhao, Z., Chen, Q., & Cao, Z., (2013). **Application of Picea wilsonii roots to determine erosion rates in eastern Qilian Mountains, Northwest China**, Trees, Vol 27 (2), 371-378.
- savanna of Benin, In 12th ISCO conference Beijing.
- Lacoste, M., Michot, D., Viaud, V., Evrard, O., & Walter, C., (2014). **Combining ^{137}Cs measurements and a spatially distributed erosion model to assess soil redistribution in a hedgerow landscape in northwestern France (1960–2010)**, CATENA, Vol 119, 78-89.
- Morgan, R. P. C., (2009). **Soil erosion and conservation**, John Wiley & Sons.
- Mullan, D. J., (2013). **Modelling the impacts of climate change on future rates of soil erosion in Northern Ireland (Doctoral dissertation)**, Queen's University Belfast.
- Park, S., Oh, C., Jeon, S., Jung, H., & Choi, C., (2011). **Soil erosion risk in Korean watersheds**, assessed using the revised universal soil loss equation, Journal of hydrology, Vol 399 (3), 263-273.
- Pimentel, D., Harvey, C., Resosudarmo, P., Sinclair, K., Kurz, D., McNair, M., ... & Blair, R., (1995). **Environmental and economic costs of soil erosion and conservation benefits**, Science-AAAS-Weekly Paper Edition, Vol 267 (5201), 1117-1122.

پژوهشگاه علوم انسانی و مطالعات فرهنگی
پرستال جامع علوم انسانی